

# 虚血性心疾患における負荷心筋シンチグラフィと負荷心臓電位図との対比

藤木 明\*, 池田 孝之\*, 西田 哲也\*, 森下 大樹\*  
寺川 俊典\*, 広田 悟志\*, 久保田幸次\*, 高田 重男\*  
服部 信\*, 中嶋 憲一, \*\* 分校 久志, \*\* 久田 欣一\*\*

今回多枝冠動脈病変を有する患者を対象として運動負荷<sup>201</sup>Tl心筋スキャンおよび体表面電位図法による検討を行った。

**対象:** 5例のいずれも労作性狭心症患者であり、このうち2例は陳旧性心筋梗塞を合併していた。冠動脈造影では症例1は2枝病変、症例2から5は3枝病変であった(表1)。

**方法:** 運動負荷<sup>201</sup>Tl心筋emission CT (ECT)は臥位自転車エルゴメーター多段階負荷により、胸痛発作またはECGで0.1mV以上のST低下をend pointとし、<sup>201</sup>Tl 1.2~3 mCi 静注後1分間運動を行った。撮影は<sup>201</sup>Tl静注後5~10分後および3時間後の2回行い、<sup>201</sup>Tl心筋ECTを施行した。ECT画像の読影は当院核医学科医師の判定によった。運動負荷体表面電位図(ST map)に関しては<sup>201</sup>Tl心筋ECTと同様に臥位自転車エルゴメーター多段階負荷法を施行した。測定は128点の体表面単極誘導により帝人社製 Cardiovision T-4000を使用して負荷前、安静時、負荷直後、3分、5分、10分にそれぞれ行った。ST偏位の測定はT波の影響を除外するためJ点より60msecの点で行い、0.1mVの偏位を等電位線で描き体表面電位図を作成した。負荷前後でST偏位(ST上昇およびST下降)を呈する領域の指標として誘導点数を、また偏位の程度の指標として最大ST偏位値を比較した。

**結果:** 表2に運動負荷<sup>201</sup>Tl ECTと運動負荷による体表面電位図(ST map)のST偏位領域とST最大偏位値を示す。これによると症例5では下壁にfixed defectが見られると同時に側壁にtransient defectが見られ、症例3では負荷後にuneven defectが見られたことから多枝病変の存在が疑われたが、これに対して症例1は負荷後に前壁中隔に、症例2は下壁にそれぞれtransient defectが、また症例4は心尖部にfixed defectが見られ、これらの所見は1枝病変で説明可能であった。

運動負荷ST mapに関しては、ST偏位のうちST上昇についてみると、負荷前後ともST上昇が認められなかつたもの2例、負荷前に見られたST上昇領域が負荷により縮少したもの2例、逆に負荷後ST上昇領域が拡大したもの1例であり、ST上昇については負荷前後で一定の傾向はみられなかつた。これに対してST下降例についてみると、5例とも運動負荷によりST下降の領域は拡大し、ST低下誘導点数は安静時平均2.6±3.2から負荷後19±4.3と増加を示した。最大ST偏位は、安静時平均-0.10±0.06mVから負荷後-0.20±0.07mVと変化し、症例1を除いて全例で増大した。

負荷後のST偏位領域を5症例で比較するとST低下領域はいずれも左前胸部に重なりをもつてみられた。また最大ST低下を示した誘導点、星印もほぼ同様の部位に見られた(図1)。

次に個々の症例について示す。症例1(図

2): 59才、女性、労作性狭心症。冠動脈造影で4番90%、9番90%の狭窄が認められ、運動負荷<sup>201</sup>Tl ECTでは前壁中隔の部位に一致してtransient defectが認められた。ST mapは安静時左前胸部1誘導点で-0.12mVのST低下が見られたのにに対して負荷後は-0.1mVのST低下領域は左前胸部中央の23誘導点に拡大した。しかし最大ST偏位は-0.12mVと不变であった。

症例2(図3): 54才、男性、労作性狭心症。冠動脈造影で3番90%、6番90%および12番75%の狭窄が見られた。運動負荷<sup>201</sup>Tl ECTでは下壁に再分布が認められた。ST mapでは安静時に前胸部上方に10誘導点において+0.21mVのST上昇領域、背部には3誘導点で-0.12mVのST下降領域が認められたが運動負荷により左前胸部上方にST上昇領域は28誘導点と増加し、ST下降は新たに左側胸部下方で19誘導点に出現した。最大ST下降は-0.12mVから-0.21mVと増大した。

症例5(図4): 61才、男性、下壁梗塞。冠動脈造影で3番75%、6番90%、13番99%の狭窄があった。運動負荷<sup>201</sup>Tl ECTでは下壁のfixed defectおよび側壁の再分布が見られ、最大ST上昇は前胸部で+0.35mV、ST下降は背部で-0.12mVであったが負荷によりそれぞれ+0.16mV、-0.27mVに変化した。また前胸部のST上昇領域は22誘導点から負荷後2、背部のST下降誘導点数は1から19と変化した。

**考案:** 従来より虚血時ST偏位、特にST低下は、虚血の程度、範囲を必ずしも正確に表わすものではないことは、体表面電位図<sup>1</sup>、ベクトル心電図<sup>2</sup>のそれぞれと<sup>201</sup>Tl心筋スキャンとを対比した結果より明らかにされている。一方今回の検討では、運動負荷後<sup>201</sup>Tl心筋スキャンで前壁中隔に再分布の見られた症例1は左前胸部中央にST低下領域が(図2)、下壁に再分布の見られた症例2では左前胸部下方にST低下が見られ(図3)、これに対して側壁に再分布の見られた症例5では、左側胸部にST低下(図4)が見られ、再分布部位とST低下領域の間に若干の相関が見られた。虚血時ST偏位の生ずる理由には、局所説、立体角説があるがいずれも完全にST偏位を説明出来ず<sup>3</sup>。虚血部位とST低下領域の関係については、さらに詳細な検討が必要と思われる。

## 文 献

- 1) Kubota I, et al: Body surface distribution of exercise-induced ST-changes in patients with coronary artery disease. Jpn. Heart. J., 23: 615, 1982.
- 2) Abouavantoun S, et al: Can areas of myocardial ischemia be localized by the exercise electrocardiogram? A correlative study with thallium-201 scintigraphy. Am. Heart. J., 108: 933, 1984.
- 3) 前原和平、他: 体表面ST偏位分布の理論的解析。心電図, 4: 624, 1984.

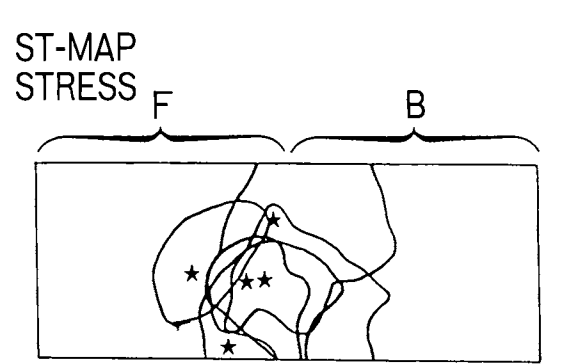


図1 運動負荷ST低下領域  
F=frontal B=back  
星印=最大ST低下誘導点

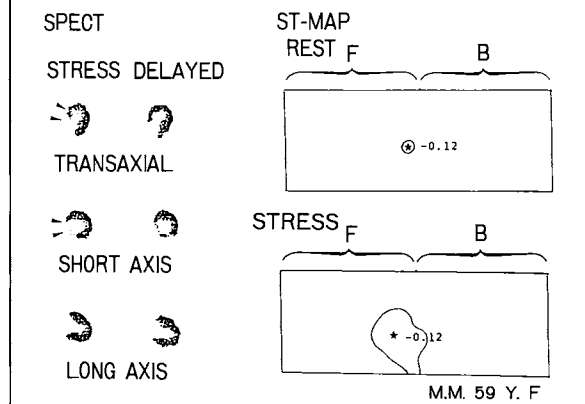


図2 運動負荷<sup>201</sup>Tl心筋スキャンと体表面電位図法の対比  
(症例1)  
SPECT=single photon emission CT  
数値は最大ST偏位(mV)を表わす。

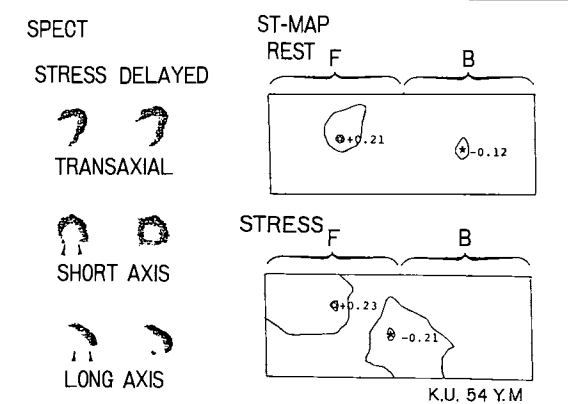


図3 運動負荷<sup>201</sup>Tl心筋スキャンと体表面電位図法の対比  
(症例2)  
白抜き星印は最大ST上昇誘導を表わす。

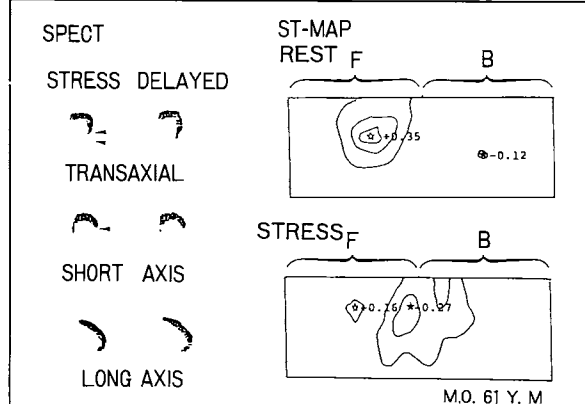


図4 運動負荷<sup>201</sup>Tl心筋スキャンと体表面電位法の対比  
(症例5)

Case	Age	Sex	Diagnosis	CAG
1) M.M.	59	F	A.P.	2V.D.(4-90%, 9-90%)
2) K.U.	54	M	A.P.	3V.D.(3-90%, 6-90%, 12-75%)
3) H.K.	63	M	A.P.	3V.D.(2-90%, 6-90%, 11-90%)
4) H.Y.	69	M	OMI(inf)	3V.D.(1-90%, 6-90%, 13-75%)
5) M.O.	61	M	OMI(inf)	3V.D.(3-75%, 6-90%, 13-99%)

表1 対象

AP=angina pectoris  
OMI=old myocardial infarction  
inf.=inferior  
V.D.=vessel disease  
CAG=coronary angiography

Case	CAG	Tl-Scan defect		ST Area		ST Max (mV)	
		fixed	transient	elev.	depr.	elev.	depr.
1) M.M.	2V.D.		anterosept.	0 0*	1 23*	0 0*	-0.12 -0.12*
2) K.U.	3V.D.		inf	10 28*	3 19*	0.21 0.23*	-0.12 -0.21*
3) H.K.	3V.D.		uneven	7 0*	0 22*	0.18 0*	0 -0.14*
4) H.Y.	3V.D.	apex		0 0*	8 12*	0 0*	-0.14 -0.25*
5) M.O.	3V.D.	inf.	lat.	22 2*	1 19*	0.35 0.16*	-0.12 -0.27*
mean±SD				2.6±3.2		-0.10±0.06	
				19.0±4.3*		-0.20±0.07	

\*=after exercise

表2 運動負荷<sup>201</sup>Tl心筋スキャンと体表面電位図法の対比

lat.=lateral  
elev.=elevation  
dep.=depression  
ST Area=ST偏位領域  
ST Max=最大ST偏位(mV)